

บทที่ 4

ผลการวิจัย

4.1 การเก็บตัวอย่างพืชตระกูลแตง

ได้ทำการเก็บตัวอย่างพืชตระกูลแตงชนิดต่างๆที่ปลูกในบริเวณแปลงปลูกของเกษตรกร ในจังหวัดสุพรรณบุรี กาญจนบุรี ราชบุรี นครปฐม และกรุงเทพฯ มาตรวจหาเจมินีไวรัส โดยพืชตระกูลแตงที่นำมาศึกษาได้แก่ แตงกวา แตงโม แตงไก บวบเหลี่ยม พักทอง และ พักเขียว โดยมีลักษณะอาการของโรคในพืชชนิดต่างๆ ที่เก็บมาตรวจหาเชื้อเจมินีไวรัส พื้นที่ปลูกและรหัสการตั้งชื่อดังแสดงในภาพที่ 3.1 และตารางที่ 4.1

ตารางที่ 4.1 แสดงชื่อใบพืชตระกูลแตงจากจังหวัดต่างๆและรหัส

รหัส	จังหวัด	ชนิดพืช	ลักษณะอาการ
AGRIB1	ราชบุรี	บวบเหลี่ยม	ผิวใบขรุขระ มีจุดเหลืองไหม้
PKRB1	ราชบุรี	พักทอง	ใบหกิกเหลือง
WGRB1	ราชบุรี	พักเขียว	ขอบใบไหม้ ผิวใบด่างเหลือง
WMRB1	ราชบุรี	แตงโม	ใบด่างเหลือง
MMRB1	ราชบุรี	แตงไก	ใบมีจุดด่างเหลือง
PKSB1	สุพรรณบุรี	พักทอง	ใบด่างเหลือง ผิวขรุขระ
PKSB2	สุพรรณบุรี	พักทอง	ใบด่างเหลือง ขอบใบไหม้
WGSB1	สุพรรณบุรี	พักเขียว	ใบมีจุดด่างเหลือง ผิวใบขรุขระ
WGSB2	สุพรรณบุรี	พักเขียว	ใบเหลืองไหม้ ผิวใบขรุขระ
WMSB1	สุพรรณบุรี	แตงโม	ผิวใบขรุขระด่างเหลืองทั้งใบ
WMSB2	สุพรรณบุรี	แตงโม	ผิวใบไม่เรียบ มีจุดด่างเหลือง
WGNP1	นครปฐม	พักเขียว	ผิวใบไหม้ มีจุดด่างเหลือง
CBKB2	กาญจนบุรี	แตงกวา	ผิวใบด่างเขียวอ่อนสลับเขียวแก่
PKBK 1	กรุงเทพ	พักทอง	ผิวใบขรุขระ ม้วนงอ สีเข้มสลับอ่อน

4.2 การตรวจหาเจมินีไวรัสในพืชตระกูลแตง

ผลการตรวจหาเชื้อเจมินีไวรัสโดยเทคนิค PCR พบว่าเมื่อนำตัวอย่างดีเอ็นเอที่สกัดได้จากตัวอย่างพืชตระกูลแตงที่แสดงอาการโรคมาทำการปั๊กิริยาเพิ่มปริมาณชิ้นส่วนดีเอ็นเอโดยใช้ไพร์เมอร์ CPA5 และ CPR1137 ซึ่งจะทำการสังเคราะห์ส่วน CP gene บน DNA-A ของเจมินีไวรัส ผลที่ได้คือ สามารถสังเคราะห์ชิ้นส่วนดีเอ็นเอที่มีขนาดประมาณ 800 คู่เบส ซึ่งเป็นดีเอ็นเอที่มีบริเวณยีนสังเคราะห์โปรตีนห่อหุ้มอนุภาค (CP gene) ได้ในตัวอย่างพักทอง พักเขียว และบวบเหลี่ยม จ.ราชบุรี พักทองและพักเขียว จ.สุพรรณบุรี และแตงกวาว จ.กาญจนบุรี (ภาพที่ 4.1) แสดงให้เห็นว่าอาการผิดปกติที่เกิดขึ้นนี้มีสาเหตุมาจากการเข้าทำลายของเชื้อเจมินีไวรัส

4.3 การเพิ่มปริมาณส่วน IR ของเชื้อเจมินีไวรัส

จากผลการนำดีเอ็นเอที่สกัดแยกได้จากตัวอย่างพืชตระกูลแตงชนิดต่างๆ มาตรวจสอบหาเชื้อเจมินีไวรัสโดยเทคนิค PCR พบว่าสามารถตรวจพบเชื้อเจมินีไวรัสในทุกตัวอย่างดังแสดงในภาพที่ 3.1 ดังนั้นจึงคัดเลือกตัวอย่างเหล่านั้นมาทำการศึกษาในขั้นตอนต่อไป คือการเพิ่มปริมาณดีเอ็นเอที่ครอบคลุมส่วน IR โดยเทคนิค PCR ด้วยไพรเมอร์ GemF1802/TYTHIR-C และ PAV715/PAC1978

ผลการเพิ่มปริมาณดีเอ็นเอส่วน IR ของเจมินีไวรัสที่ศึกษาพบว่าสามารถสังเคราะห์ดีเอ็นที่มีขนาดประมาณ 1,280 คู่เบสจากตัวอย่างเจมินีไวรัสในพักทอง ราชบุรี (PKRB1) และบวบเหลี่ยม ราชบุรี (AGRB1) เมื่อใช้ไพรเมอร์ TYTHIR-C และ GemF1802 และสามารถสังเคราะห์ดีเอ็นเอขนาดประมาณ 1,500 คู่เบส จากตัวอย่างแตงกวาว กาญจนบุรี (CKB2) และบวบเหลี่ยมราชบุรี (AGRB1) เมื่อใช้ไพรเมอร์ PAV715 และ PAC1978 (ภาพที่ 4.2 และ 4.3)

4.4 การวิเคราะห์และการเปรียบเทียบลำดับนิวคลีโอไทด์และกรดอะมิโนของเจมินีไวรัส

จากการเปรียบเทียบลำดับนิวคลีโอไทด์และกรดอะมิโนส่วนยีนโปรตีนห่อหุ้มอนุภาคของเจมินีไวรัสในบวบเหลี่ยม พักทอง พักเขียว จ.ราชบุรี พักทอง พักเขียว จ.สุพรรณบุรี และแตงกวาว จ.กาญจนบุรีที่ศึกษากับเจมินีไวรัสอื่นจากฐานข้อมูล Genbank ตารางที่ 3.1) โดยเปรียบเทียบในส่วนของยีนโปรตีนห่อหุ้มอนุภาค (CP gene) วิเคราะห์ด้วย DNASTAR software ให้ผลการวิเคราะห์ความสัมพันธ์ที่สอดคล้องกันดังนี้

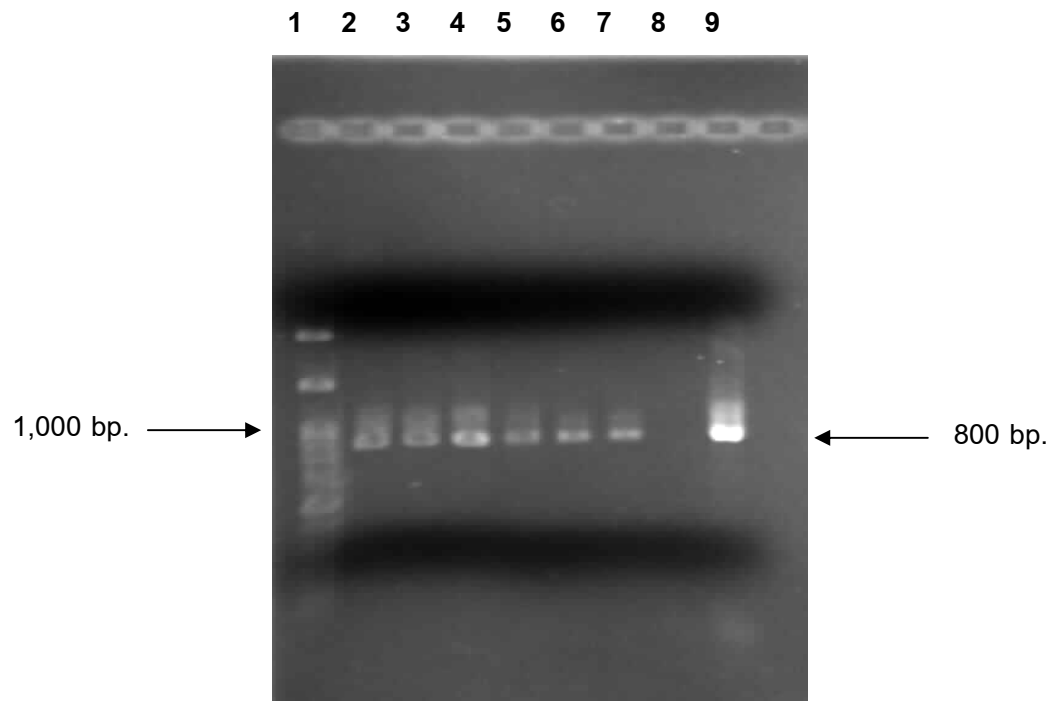
เชื้อเจมินีไวรัสทั้งหมดที่ศึกษา คือ ไวรัสที่แยกได้จากบวบเหลี่ยม (AGRB1), พักทอง (PKRB1), พักเขียว (WGRB1) จ.ราชบุรี, แตงกวาว (CBKB2) จ.กาญจนบุรี, พักทอง (PKSB1)

และฟ้าเขียว (WGSB1) จ.สุพรรณบุรีมียีนโปรตีนห่อหุ้มอนุภาค ประกอบด้วย 768 นิวคลีโอไทด์ แปรรหัสได้กรดอะมิโน 256 ตัว จำนวนนิวคลีโอไทด์และการดอมิโนและลำดับการจัดเรียงตัวนิวคลีโอไทด์และการดอมิโน ดังแสดงในตารางที่ 4.2 และภาพที่ 4.4 - 4.7

เมื่อเปรียบเทียบลำดับนิวคลีโอไทด์ของยีนโปรตีนห่อหุ้มอนุภาคของ AGRB1 พบร่วมีความคล้ายคลึงกับ CBKB2 ที่ 99.2 เปอร์เซ็นต์ และเชื้อ ToLCNDV-TH[TH.Cu] ที่ 97.9 เปอร์เซ็นต์ ในขณะที่ลำดับการดอมิโนมีความเหมือนและคล้ายคลึงกันที่ 100 และ 98.8 เปอร์เซ็นต์ตามลำดับ (ตารางที่ 4.3)

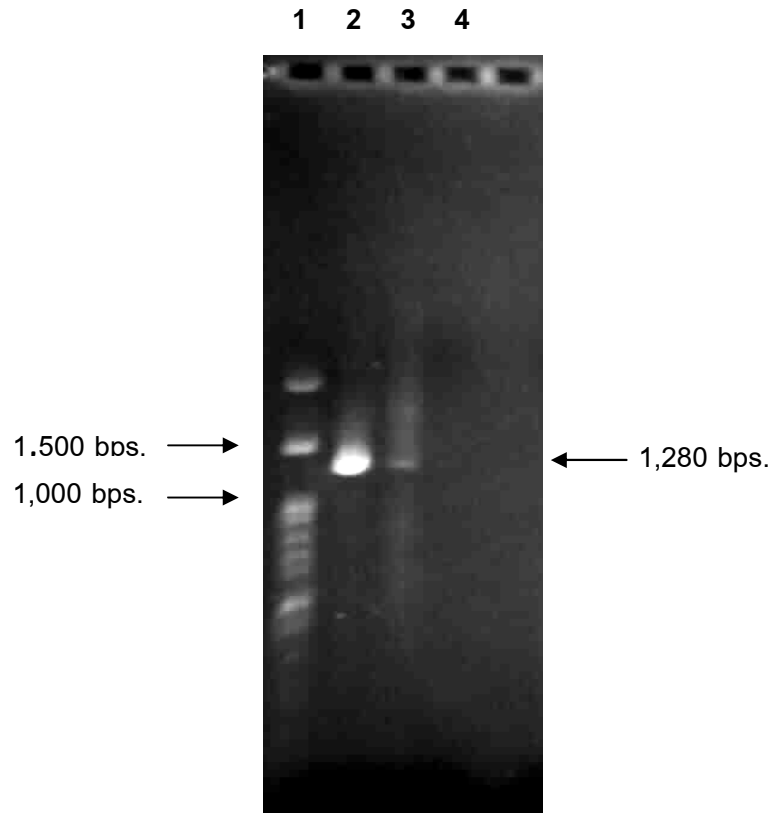
ลำดับนิวคลีโอไทด์และการดอมิโนของยีนโปรตีนห่อหุ้มอนุภาคของ PKRB1 มีความคล้ายคลึงสูงสุดกับเชื้อ SLCCNV-[TH.Wax.07] และ SLCCV-[WG:NP] ที่ 97.9 เปอร์เซ็นต์ และ 98.6 เปอร์เซ็นต์ตามลำดับ โดยลำดับการดอมิโนมีความคล้ายคลึงกันสูงสุดกับเชื้อ SLCCNV-CN[CN.Gx25.05] ที่ 99 เปอร์เซ็นต์ (ตารางที่ 4.4) ลำดับนิวคลีโอไทด์และการดอมิโนของยีนโปรตีนห่อหุ้มอนุภาคของ WGRB1 มีความคล้ายคลึงกับ ToLCNDV-TH[TH.Cu] สูงสุดที่ 97.8 และ 99.2 เปอร์เซ็นต์ตามลำดับ (ตารางที่ 4.5) ลำดับนิวคลีโอไทด์ของยีนโปรตีนห่อหุ้มอนุภาคของ CBKB2 มีความคล้ายคลึงสูงสุดกับ AGRB1 ที่ 99.2 เปอร์เซ็นต์ รองลงมาคือ WGRB1 และเชื้อ ToLCNDV-TH[TH.Cu] ที่ 98.6 % ตามลำดับ ในขณะที่ลำดับการดอมิโนเหมือนกับ AGRB1 100 เปอร์เซ็นต์ และคล้ายกับ WGRB1 และเชื้อ ToLCNDV-TH[TH.Cu] ที่ 99.2 % ตามลำดับ (ตารางที่ 4.6) ลำดับนิวคลีโอไทด์ของยีนโปรตีนห่อหุ้มอนุภาคของ PKSB1 มีความคล้ายคลึงกับเชื้อ SLCCNV-TH[TH] ที่ 98.3 เปอร์เซ็นต์ ในขณะที่ลำดับการดอมิโนมีความคล้ายคลึงกับเชื้อ SLCCNV-TH[TH] ที่ 99.2 เปอร์เซ็นต์ (ตารางที่ 4.7) เมื่อเปรียบเทียบลำดับนิวคลีโอไทด์ในส่วนของยีนโปรตีนห่อหุ้มอนุภาคของ WGSB1 มีความคล้ายคลึงสูงสุดกับ ToLCNDV-TH[TH.Cu] ที่ 98.2 เปอร์เซ็นต์ และมีลำดับการดอมิโนคล้ายคลึงกันที่ 99.6 เปอร์เซ็นต์ (ตารางที่ 4.8)

เมื่อนำมาศึกษาความสัมพันธ์โดยการวิเคราะห์ Phylogenetic tree พบร่วมเชื้อเจมินไวรัส AGRB1,WGRB1,CBKB2 และ WGSB1 ที่ทำการศึกษาถูกจัดอยู่ในกลุ่มของ ToLCNDV-TH[TH.Cu] และ ToLCNDV-TH[TH.Luf] ส่วน PKRB1 ถูกจัดอยู่ในกลุ่มของ SLCCNV-[WG.NP] ในขณะที่ PKSB1 ถูกจัดอยู่ในกลุ่มของ SLCPHV-TH[TH] (ภาพที่ 4.8)



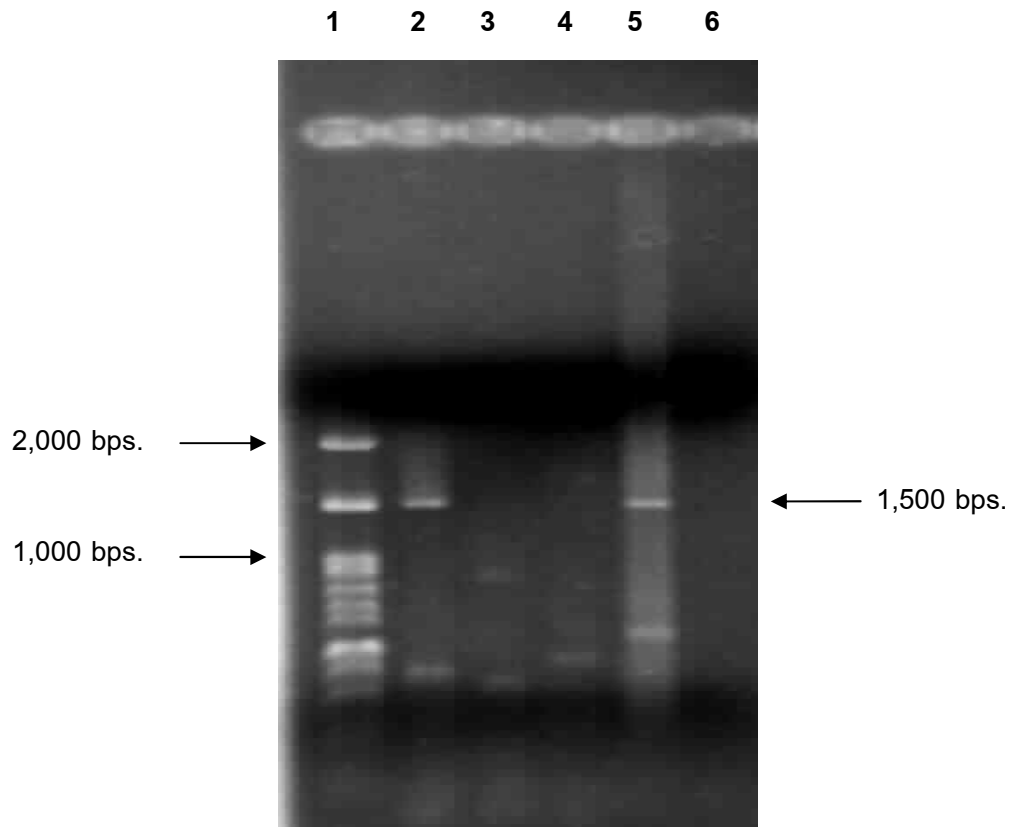
ภาพที่ 4.1 ผลการตรวจและเพิ่มปริมาณชิ้นส่วนดีเอ็นเอบริเวณ CP ด้วยเทคนิค PCR

แฉวที่ 1	1 kb DNA Marker
แฉวที่ 2	บัวเหลี่ยม ราชบูรี (AGRIB1)
แฉวที่ 3	พักทอง ราชบูรี (PKRB1)
แฉวที่ 4	พักเขียว ราชบูรี (WGRB1)
แฉวที่ 5	พักทอง สุพรรณบุรี (PKSB1)
แฉวที่ 6	พักเขียว สุพรรณบุรี (WGSB1)
แฉวที่ 7	แตงกวาว กัญจนบุรี (CBKB2)
แฉวที่ 8	นำกลั้นปลодเชื้อ (Negative control)
แฉวที่ 9	เจมินีไวรัสในแตงกวาว (Positive control)



ภาพที่ 4.2 ผลการตรวจหาและเพิ่มปริมาณเชื้อเจมินีไวรัสบริเวณ IR โดยใช้ไพรเมอร์ TYTHIR-C และ GemF1802

แกล 1	1 kb DNA Marker
แกล 2	พักทอง ราชบุรี (PKRB1)
แกล 3	บวบเหลี่ยม ราชบุรี (AGRB1)
แกล 4	นำกลั้นปลอดเชื้อ (Negative control)



ภาพที่ 4.3 ผลการตรวจหาและเพิ่มปริมาณเชื้อเจมินีไวรัสบีโวเอน IR โดยใช้เพรเมอร์ PAV715 และ PAC1978

แท่ง 1	1 kb DNA Marker
แท่ง 2	แตงกว่า กากูจันบุรี (CKB2)
แท่ง 3	พักเขี้ยว สุพรรณบุรี (WGSB1)
แท่ง 4	แตงโนม สุพรรณบุรี (WMSB2)
แท่ง 5	บัวบเหลี่ยม ราชบุรี (AGRIB1)
แท่ง 6	นำกลันปลดเชื้อ (Negative control)

ตารางที่ 4.2 จำนวนนิวคลีโอไทด์และการดosomeของยีนโปรตีนห่อหุ้มอนุภาคของเจมินีไวรัสที่ศึกษา

ตัวอย่าง	Nucleotide (bps.)	Amino acid
AGRIB1	768	256
PKRB1	768	256
WGRB1	768	256
CBKB2	768	256
PKSB1	768	256
WGSB1	768	256

(ก)

1 ATGTCGAAAG GTCCAGCAGA TATCATCATT TCAACGCCG CATCGAAGGT
 51 ACGCCGACGA CTCAACTTCG ACAGCCCCTA TGGAACCTCGT GCAGTTGTCC
 101 CCATTGCCCG CGTCACAAAA GCAAAGGCCT GGACCAACAG GCCGATGAAC
 151 AGAAAACCCA GAATGTACAG AATGTATAGA AGTCCCGACG TGCCAAGGG
 201 CTGTGAAGGC CCTTGTAAGG TGCAGTCTTT TGAATCTAGG CACGACGTGT
 251 CGCATATTGG GAAGGTCATG TGTGTCAGTG ACGTTACAAG AGGAACCTGGA
 301 CTCACACATC GCATAGGGAA GCGATTCTGT GTGAAATCCG TATACATTCT
 351 GGGCAAGATA TGGATGGATG AAAACATCAA GACAAAAAT CATACTAAC
 401 GTGTCATGTT TTTTTGGTT CGTGACCGTC GTCCTACAGG AACACCCAA
 451 GATTTCGGGG AAGTTTTAA CATGTTTGAC AATGAACCGA GCACAGCAAC
 501 GGTGAAGAAC ATGCATCGTG ACCGTTATCA AGTCTTACGG AAGTGGCATG
 551 CGACTGTGAC GGGAGGAACA TACGCATCTA GGGAGCAAGC ATTAGTTAGG
 601 AAGTTTGTAA GGGTTAATAA TTATGTTGTT TATAATCAAC AAGAGGCCGG
 651 CAAGTATGAG AATCATACTG AAAACGCATT GATGTTGTAT ATGGCCTGTA
 701 CTCACGCATC AAATCCTGTG TATGCTACTT TGAAAATCCG GATCTATTTC
 751 TATGATTCGG TAACAAAT

(ข)

1 MSKGPADIII STPASKVRRR LNFDSPYGTR AVVPIARVTK AKAWTNRPMN
 51 RKPRMYRMYR SPDVPRGCEG PCKVQSFESR HDVSHIGKVM CVSDVTRGTG
 101 LTHRIGKRFC VKSVYILGKI WMDENIKTKN HTNSVMFFLV RDRRPTGTPQ
 151 DFGEVFNMFD NEPSTATVKN MHRDRYQVLR KWHATVTGGT YASREQALVR
 201 KFVRVNYYVV YNQQEAGKYE NHTENALMLY MACTHASNPV YATLKIRIYF
 251 YDSVTN

ภาพที่ 4.4 แสดงลำดับนิวคลีโอไทด์ (ก) และลำดับกรดอะมิโน (ข) ของ AGRB1

(ก)

1 ATGTCGAAAG GTCCAGCAGA TATCATCATT TCAACGCCCG CATCGAAGGT
 51 ACGCCGACGA CTCAACTTCG ACAGCCCCTA TGGAACCTCGT GCAGTTGTCC
 101 CCATTGCCCG CGTCACAAAA GCAAAGGCCT GGACCAACAG GCCGATGAAC
 151 AGAAAACCCA GAATGTACAG AATGTATAGA AGTCCCGACG TGCCAAGGGG
 201 CTGTGAAGGC CCTTGTAAGG TGCAGTCTTT TGAATCTAGG CACGACGTGT
 251 CGCATATTGG GAAGGTCATG TGTGTCAGTG ACGTCACACG AGGAACCTGGA
 301 CTCACACATC GCATAGGGAA GCGATTCTGT GTGAAATCCG TCTACATTCT
 351 GGGCAAGATA TGGATGGATG AAAACATCAA GACAAAAAT CATACTAAC
 401 GTGTCATGTT TTTTTGGTT CGTGACCGTC GTCCTACAGG AACACCCAA
 451 GATTTCGGGG AAGTTTTAA CATGTTTGAC AATGAACCGA GCACAGCAAC
 501 GGTGAAGAAC ATGCATCGTG ACCGTTATCA AGTCTTACGG AAGTGGCATG
 551 CGACTGTGAC GGGAGGAACC TACGCATCTA GGGAGCAAGC ATTAGTTAGG
 601 AAGTTTGTAA GGGTTAATAA TTATGTTGTT TATAATCAAC AAGAGGCCGG
 651 GAAGTATGAG AATCATACTGA AAACGCATT AATGTTGTAT ATGGCCTGTA
 701 CTCACGCATC AAATCCTGTGT ATGCTACTT TGAAAATCCG GATCTATTTC
 751 TATGATTCTGG TAACAAAT

(ง)

1 MSKGPADIII STPASKVRRR LNFDSPYGR AVVPIARVTK AKAWTNRPMN
 51 RKPRMYRMYR SPDVPRGCEG PCKVQSFESR HDVSHIGKVM CVSDVTRGTG
 101 LTHRIGKRFC VKSVYILGKI WMDENIKTKN HTNSVMFFLV RDRRPTGTPQ
 151 DFGEVFNMF D NEPSTATVKN MHRDRYQVLR KWHATVTGGT YASREQALVR
 201 KFVRVNYYVV YNQQEAGKYE NHTENALMLY MACTHASNPV YATLKIRIYF
 251 YDSVTN

ภาพที่ 4.5 แสดงลำดับนิวคลีโอไทด์ (ก) และลำดับกรดอะมิโน (ง) ของ CBKB 2

(ก)

1 ATGTCGAAGC GTCCAGCAGA TATCATCATT TCAACGCCCG CATCGAAGGT
 51 ACGCCGACGAC TCAACTTCGA CAGCCCCTAT GGAACCTCGTG CAGTTGTCC
 101 CCATTGCCCGC GTCACAAAAG CAAAGGCCTG GACCAACAGG CCGATGAAC
 151 AGAAAACCCAG AATGTACAGA ATGTATAGAA GTCCCGACGT GCCAAGGGG
 201 CTGTGAAGGCC CTTGTAAGGT GCAGTCTTT GAATCTAGGC ACGACGTGT
 251 CGCATATTGGG AAGGTCATGT GTGTCAGTGA CGTTACACGA GGAACTGGA
 301 CTCACACATCG CATGGGAAG CGATTCTGTG TCAAATCCGT ATACATTCT
 351 GGGCAAGATAT GGATGGATGA AAACATCAAG ACAAAAAATC ATACTAAC
 401 GTGTCATGTT TTTTGGTTC GTGACCGTCG TCCTACAGGA ACACCCAG
 451 GATTTCGGGGA AGTTTTAAC ATGTTTGACA ATGAACCGAG CACAGCAAC
 501 GGTGAAGAACCA TGCATCGTGA CCGTTACCAA GTCTTACGGGA AGTGGCATG
 551 CTACTGTGACG GGAGGAACAT ACGCATCTAG GGAGCAAGCA TTAGTTAGG
 601 AAGTTTGTAG GGTAAATAAT TATGTTGTTT ATAATCAACA AGAGGCCGG
 651 CAAGTATGAGA ATCATACTGA AACGCATTA ATGTTGTATA TGGCCTGTA
 701 CTCACGCATCA AATCCTGTGT ATGCTACTTT GAAAATCCGG ATCTATTTC
 751 TATGATTCGGT AACAAAT

(ข)

1 MSKRPADIII STPASKVRRR LNFDSPYGRV AVVPIARVTK AKAWTNRPVN
 51 RKPRMYRMYR SPDVPRGCEG PCKVQSFESR HDVSHIGKVM CVSDVTRGTG
 101 LTHRMGKRFC VKSVYILGKI WMDENIKTKN HTNSVMFFLV RDRRPTGTPQ
 151 DFGEVFNMFD NEPSTATVKN MHRDRYQVLR KWHATVTGGT YASREQALVR
 201 KFVRVNNYVV YNQQEAGKYE NHTENALMLY MACTHASNPV YATLKIRIYF
 251 YDSVTN

ภาพที่ 4.6 แสดงลำดับนิวคลีโอไทด์ (ก) และลำดับกรดอะมิโน (ข) ของ WGRB 1

(ก)

1 ATGTGGAAGC GTCCAGCAGA TATCATCATT TCAACGCCG CATCGAAGGT
 51 ACGCCGACGA CTCAACTTCG ACAGCCCCTA TGGAACTCGT GCAGTTGTCC
 101 CCATTGCCCG CGTCACAAAA GCAAAGGCCT GGACCAACAG GCCGATGAAC
 151 AGAAAACCCA GAATGTACAG AATGTATAGA AGTCCGACG TCCCAAGGGG
 201 CTGTGAAGGC CCTTGTAAGG TGCAGTCTTT TGAATCTAGG CACGACGTAT
 251 CGCATATTGG CAAGGTCATG TGTGTCAGTG ACGTCACACG AGGAACGGGA
 301 CTCACACATC GCGTAGGGAA GCGATTCTGT GTGAAATCCG TCTATATTCT
 351 GGGCAAGATA TGGATGGATG AAAACATCAA GACTAAAAAC CATACTAAC
 401 GTGTCATGTT TTTTTGGTA CGTGACCGTC GTCCTACAGG AACACCCAA
 451 GATTTCGGGG AAGTCTCAA CATGTTTGAC AATGAACCGA GCACAGCAAC
 501 GGTGAAGAAC ATGCATCGTG ACCGTTATCA AGTCTTACGG AAGTGGCATG
 551 CGACTGTGAC GGGAGGAAC TACGCATCTA GGGAGCAAGC ATTAGTTAGG
 601 AAGTTTGTAA GGGTTAATAA TTATGTTGTT TATAATCAAC AAGAGGCCGG
 651 CAAGTATGAG AATCATACTG AAAACGCATT AATGTTGTAT ATGGCCTGTA
 701 CTCACGCATC AAATCCTGTA TATGCTACTT TGAAAATCCG GATCTATTTC
 751 TATGATTCGG TAACAAAT

(ข)

1 MWKRPADIII STPASKVRRR LNFDSPYGRV AVVPIARVTK AKAWTNRPVN
 51 RKPRMYRMYR SPDVPRGCEG PCKVQSFESR HDVSHIGKVM CVSDVTRGTG
 101 LTHRVGKRFC VKSVYILGKI WMDENIKTKN HTNSVMFFLV RDRRPTGTPQ
 151 DFGEVFNMFD NEPSTATVKN MHRDRYQVLR KWHATVTGGT YASREQALVR
 201 KFVRVNNYVV YNQQEAGKYE NHTENALMLY MACTHASNPV YATLKIRIYF
 251 YDSVTN

ภาพที่ 4.7 แสดงลำดับนิวคลีโอไทด์ (ก) และลำดับกรดอะมิโน (ข) ของ WGSB 1

**ตารางที่ 4.3 เปอร์เซ็นต์ความคล้ายคลึงของลำดับนิวคลีโอไทด์และลำดับกรดมิโน่ส่วนยืนโปรดีน
ห่อหุ้มอนุภาคของ AGRB1 ที่เปรียบเทียบกับเจมินีไวรัสชนิดอื่น**

เจมินีไวรัส	นิวคลีโอไทด์	กรดอะมิโน
PKRB1	90.2	98.6
WGRB1	98.8	99.2
CBKB2	99.2	100.0
PKSB1	89.7	96.9
WGSB1	97.4	98.8
SLCCNV-CN[CN.Gx25.05]	87.9	96.5
SLCCNV	87.1	95.3
SLCCNV-[TH.Wax.07]	86.1	91.8
SLCYNV-[CN.Y23.00]	70.4	77.0
SLCCNV-IN[IN.Coi.Pum]	92.7	97.3
SLCCNV-IN[IN.Luc.Pum]	93.9	97.7
SLCCNV-TH[TH]	88.8	96.1
SLCPHV-PH[PH.Mun]	88.7	95.3
SLCCV-[WG.NP]	86.1	91.8
ToLCLV-[LA]	70.4	82.8
ToLCNDV-IN[IN.ND.Mld.92]	93.9	97.7
ToLCNDV-IN[IN.ND.Svr.92]	94.3	96.9
ToLCNDV-IN[PK.Sn.97]	93.8	96.5
ToLCNDV-TH[TH.Cu]	97.9	98.8
ToLCNDV-TH[TH.Luf]	96.7	97.7
ToLCNDV	94.7	97.3
WmCSV-[IR.97]	67.2	74.6
TYLCTHV-B[TH.ChMai]	71.1	77.7
TYLCTHV-B[TH.Nok]	71.2	77.7
TYLCTHV-C[TH.SaNa]	72.5	80.1

**ตารางที่ 4.4 เปอร์เซ็นต์ความคล้ายคลึงของลำดับนิวคลีโอไทด์และลำดับกรดมิโนส่วนยืนโปรดีน
ห่อหุ้มอนุภาคของ PKRB1 ที่เปรียบเทียบกับเจมินีไวรัสชนิดอื่น**

เจมินีไวรัส	นิวคลีโอไทด์	กรดอะมิโน
AGRIB1	90.2	98.6
WGRB1	90.7	98.6
CBKB2	90.1	98.6
PKSB1	97.4	98.6
WGSB1	90.1	99
SLCCNV-CN[CN.Gx25.05]	94.7	99
SLCCNV	94.2	97.6
SLCCNV-[TH.Wax.07]	97.9	98.6
SLCYNV-[CN.Y23.00]	68.3	77.9
SLCCNV-IN[IN.Coi.Pum]	89.7	97.6
SLCCNV-IN[IN.Luc.Pum]	90.5	98.1
SLCCNV-TH[TH]	96.6	97.6
SLCPHV-PH[PH.Mun]	95.7	97.6
SLCCV-[WG.NP]	97.9	98.6
ToLCLV-[LA]	68.6	86.1
ToLCNDV-IN[IN.ND.Mld.92]	89.6	98.1
ToLCNDV-IN[IN.ND.Svr.92]	90.2	97.1
ToLCNDV-IN[PK.Sn.97]	89.4	96.6
ToLCNDV-TH[TH.Cu]	90.9	99
ToLCNDV-TH[TH.Luf]	89.4	97.6
ToLCNDV	88.8	98.6
WmCSV-[IR.97]	66.2	78.4
TYLCTHV-B[TH.ChMai]	68.8	78.8
TYLCTHV-B[TH.Nok]	69.1	78.8
TYLCTHV-C[TH.SaNa]	70.2	80.3

**ตารางที่ 4.5 เปอร์เซ็นต์ความคล้ายคลึงของลำดับนิวคลีโอไทด์และลำดับกรดมิโน่ส่วนยืนโปรดีน
ห่อหุ้มอนุภาคของ WGRB1ที่เปรียบเทียบกับเจมินีไวรัสชนิดอื่น**

เจมินีไวรัส	นิวคลีโอไทด์	กรดอะมิโน
AGRIB1	98.8	99.2
PKRB1	90.7	98.6
CBKB2	89.6	99.2
PKSB1	90.1	97.3
WGSB1	89.8	99.2
SLCCNV-CN[CN.Gx25.05]	88.7	96.6
SLCCNV	87.9	95.7
SLCCNV-[TH.Wax.07]	86.9	92.2
SLCYNV-[CN.Y23.00]	71.4	77.3
SLCCNV-IN[IN.Coi.Pum]	92.6	97.7
SLCCNV-IN[IN.Luc.Pum]	93.8	98.0
SLCCNV-TH[TH]	89.6	96.5
SLCPHV-PH[PH.Mun]	89.6	95.7
SLCCV-[WG.NP]	86.6	92.2
ToLCLV-[LA]	71.4	83.2
ToLCNDV-IN[IN.ND.Mld.92]	74.1	98.0
ToLCNDV-IN[IN.ND.Svr.92]	74.4	97.3
ToLCNDV-IN[PK.Sn.97]	93.9	96.9
ToLCNDV-TH[TH.Cu]	97.8	99.2
ToLCNDV-TH[TH.Luf]	96.6	98.0
ToLCNDV	94.5	97.7
WmCSV-[IR.97]	67.1	75.0
TYLCTHV-B[TH.ChMai]	71.6	78.1
TYLCTHV-B[TH.Nok]	71.9	78.1
TYLCTHV-C[TH.SaNa]	73	80.5

ตารางที่ 4.6 เปอร์เซ็นต์ความคล้ายคลึงของลำดับนิวคลีโอไทด์และลำดับกรดมิโนส่วนยีนโปรตีนห่อหุ้มอนุภาคของ CBKB2 ที่เปรียบเทียบกับเจมินีไวรัสชนิดอื่น

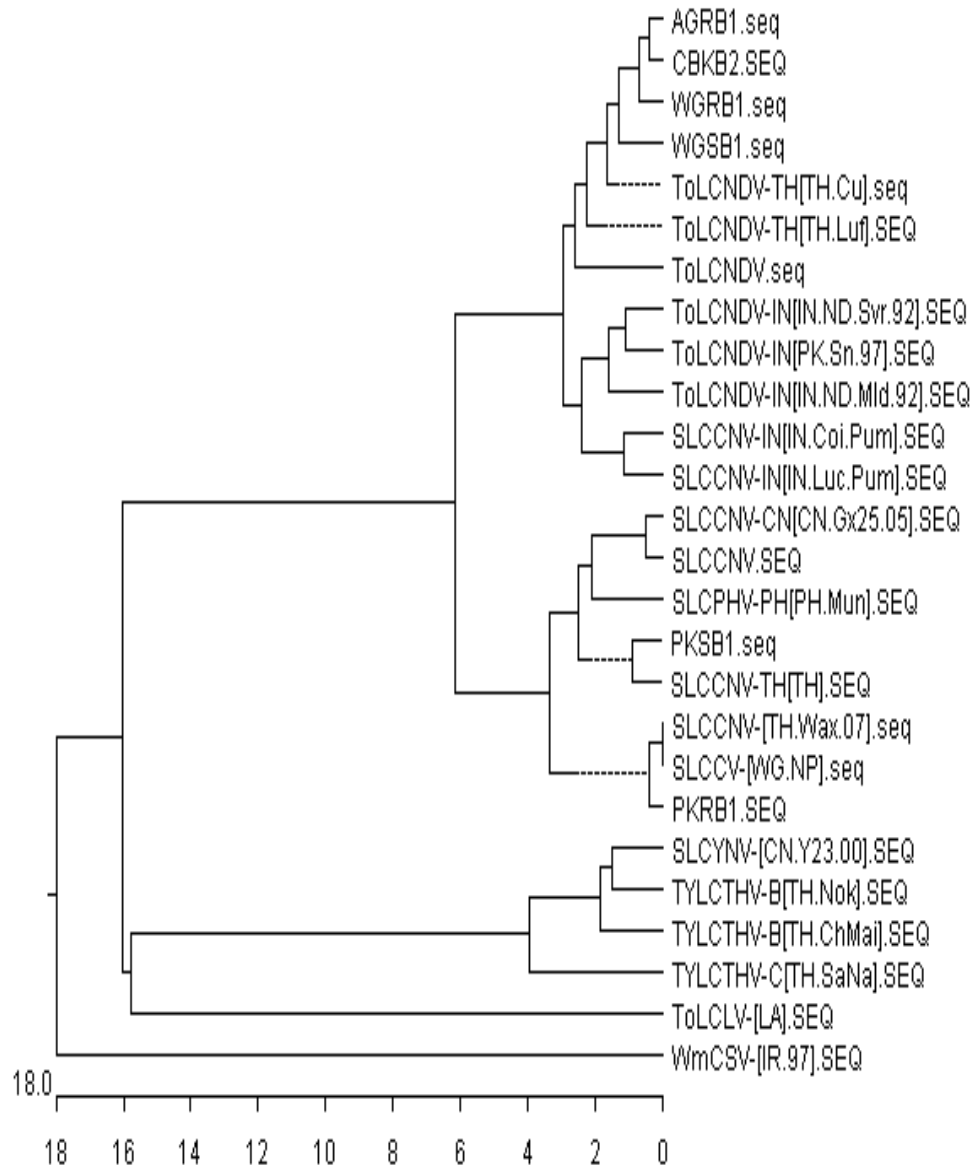
เจมินีไวรัส	นิวคลีโอไทด์	กรดอะมิโน
AGRIB1	99.2	100.0
PKRB1	90.1	98.6
WGRB1	98.6	99.2
PKSB1	89.6	96.9
WGSB1	97.8	98.8
SLCCNV-CN[CN.Gx25.05].CP	87.8	96.5
SLCCNV	86.8	95.3
SLCCNV-[TH.Wax.07]	86.0	91.8
SLCYNV-[CN.Y23.00]	70.8	77.0
SLCCNV-IN[IN.Coi.Pum]	92.8	97.3
SLCCNV-IN[IN.Luc.Pum]	93.9	97.7
SLCCNV-TH[TH]	88.7	96.1
SLCPHV-PH[PH.Mun]	88.4	95.3
SLCCV-[WG.NP]	86.0	91.8
ToLCLV-[LA]	70.8	83.8
ToLCNDV-IN[IN.ND.Mld.92]	94.0	97.7
ToLCNDV-IN[IN.ND.Svr.92]	94.3	86.9
ToLCNDV-IN[PK.Sn.97]	93.8	96.5
ToLCNDV-TH[TH.Cu]	97.9	98.8
ToLCNDV-TH[TH.Luf]	96.7	97.7
ToLCNDV	94.8	97.3
WmCSV-[IR.97]	66.8	74.6
TYLCTHV-B[TH.ChMai]	71.0	77.7
TYLCTHV-B[TH.Nok]	71.2	77.7
TYLCTHV-C[TH.SaNa]	72.4	80.1

**ตารางที่ 4.7 เปอร์เซ็นต์ความคล้ายคลึงของลำดับนิวคลีโอไทด์และลำดับกรดมิโนส่วนยืนโปรดีน
ห่อหุ้มอนุภาคของ PKSB1 ที่เปรียบเทียบกับเจมีนีไวรัสชนิดอื่น**

เจมีนีไวรัส	นิวคลีโอไทด์	กรดอะมิโน
AGRIB1	89.7	96.9
PKRB1	97.4	98.6
WGRB1	90.1	97.3
CBKB2	89.6	96.9
WGSB1	89.8	97.3
SLCCNV-CN[CN.Gx25.05].CP	96.5	99.2
SLCCNV	96.4	98
SLCCNV-[TH.Wax.07]	94.1	93.3
SLCYNV-[CN.Y23.00]	70.8	78.9
SLCCNV-IN[IN.Coi.Pum]	90.1	96.9
SLCCNV-IN[IN.Luc.Pum]	90.4	97.3
SLCCNV-TH[TH]	98.3	99.2
SLCPHV-PH[PH.Mun]	96.7	98
S SLCCV-[WG.NP]	94.1	93.3
ToLCLV-[LA]	69.5	83.6
ToLCNDV-IN[IN.ND.Mld.92]	89.8	97.3
ToLCNDV-IN[IN.ND.Svr.92]	90.2	96.5
ToLCNDV-IN[PK.Sn.97]	89.6	96.1
ToLCNDV-TH[TH.Cu]	90.2	97.3
ToLCNDV-TH[TH.Luf]	89.5	96.5
ToLCNDV	89.5	97.7
WmCSV-[IR.97]	67.2	94.6
TYLCTHV-B[TH.ChMai]	70.7	78.9
TYLCTHV-B[TH.Nok]	70.8	78.9
TYLCTHV-C[TH.SaNa]	72.7	81.2

**ตารางที่ 4.8 เปอร์เซ็นต์ความคล้ายคลึงของลำดับนิวคลีโอไทด์และลำดับกรดมิโนส่วนยืนโปรดีน
ห่อหุ้มอนุภาคของ WGSB1 ที่เปรียบเทียบกับเจมินีไวรัสชนิดอื่น**

เจมินีไวรัส	นิวคลีโอไทด์	กรดอะมิโน
AGRIB1	97.4	98.8
PKRB1	90.1	99
WGRB1	97.1	99.2
CBKB2	97.8	98.8
PKSB1	89.8	97.3
SLCCNV-CN[CN.Gx25.05].CP	87.8	96.9
SLCCNV	87.1	95.7
SLCCNV-[TH.Wax.07]	86.5	92.2
SLCYNV-[CN.Y23.00]	71.0	77.3
SLCCNV-IN[IN.Coi.Pum]	93.8	98.0
SLCCNV-IN[IN.Luc.Pum]	94.5	98.4
SLCCNV-TH[TH]	89.1	96.5
SLCPHV-PH[PH.Mun]	88.7	95.7
SLCCV-[WG.NP]	86.5	92.2
ToLCLV-[LA]	71.2	83.2
ToLCNDV-IN[IN.ND.Mld.92]	94.3	98.4
ToLCNDV-IN[IN.ND.Svr.92]	94.7	97.7
ToLCNDV-IN[PK.Sn.97]	94.3	97.3
ToLCNDV-TH[TH.Cu]	98.2	99.6
ToLCNDV-TH[TH.Luf]	97.0	98.4
ToLCNDVC	95.6	98.0
WmCSV-[IR.97]	66.0	75.4
TYLCTHV-B[TH.ChMai]	71.1	78.1
TYLCTHV-B[TH.Nok]	71.5	78.1
TYLCTHV-C[TH.SaNa]	72.5	80.5



ภาพที่ 4.8 Phylogenetic tree แสดงความสัมพันธ์ของลำดับนิวคลีโอไทด์ของยีนโปรตีนห่อหุ้มอนุภาคของเจมินีไวรัสทั้ง 6 ชนิด กับเจมินีไวรัสชนิดอื่นๆ